

Prowadzący instalację:

P4 Sp. z o. o.
ul. Wynałazek 1
02-677 Warszawa

Warszawa, 8 lip 2022

Adres do korespondencji:

P4 Sp. z o. o.
ul. Wynałazek 1,
02-677 Warszawa

Starostwo Powiatowe w Węgrowie**Wydział Środowiska, Rolnictwa i
Budownictwa**

Przedłożenie informacji o zmianie danych w instalacji

o których mowa w przedłożeniu informacji dla WEG3303A z dnia 13 cze 2022

dotyczy: informacji o zmianie w zakresie danych w przedłożeniu informacji dla WEG3303A.

Podstawa prawna: ustawa z dnia 27 kwietnia 2001 r. Prawo ochrony środowiska, art. 152, ust 6, pkt 1, lit. c)

Niniejsza informacja zawiera wyłącznie dane, które uległy zmianie.

1) Oznaczenie prowadzącego instalację, jego adres zamieszkania lub siedziby.

Brak zmian.

2) Adres zakładu, na którego terenie prowadzona jest eksploatacja instalacji.

07-100 Węgrów, Gdańska 81A, gm. Węgrów, pow. węgrowski

3) Rodzaj i zakres prowadzonej działalności, w tym wielkość produkcji lub wielkość świadczonych usług.

Usługi telekomunikacyjne, transmisja danych: 1TB/doba.

4) Czas funkcjonowania instalacji (dni tygodnia i godziny).

Brak zmian.

5) Wielkość i rodzaj emisji.

Dane przed zmianą:

| L.p. | Nazwa anteny / wysokość [m n.p.t.] | Rodzaj emisji | Równoważna moc promieniowana izotropowo | Azymut | Kąt pochylenia | Częstotliwość |
|------|---------------------------------------|------------------|---|--------|-------------------|---------------|
|------|---------------------------------------|------------------|---|--------|-------------------|---------------|

| | | | | | | |
|----|-----------|-----|--------|------|-----|---------------|
| 1 | 11_LV/58 | PEM | 1878 W | 70° | 10° | 800 MHz |
| 2 | 11_LV/58 | PEM | 6083 W | 70° | 12° | 1800 MHz |
| 3 | 12_HNV/58 | PEM | 1878 W | 70° | 10° | 800 MHz |
| 4 | 12_HNV/58 | PEM | 6608 W | 70° | 12° | 2100 MHz |
| 5 | 13_GHT/58 | PEM | 1953 W | 70° | 9° | 900 MHz |
| 6 | 13_GHT/58 | PEM | 9982 W | 70° | 9° | 2600 MHz |
| 7 | 21_LV/58 | PEM | 1878 W | 160° | 10° | 800 MHz |
| 8 | 21_LV/58 | PEM | 6083 W | 160° | 12° | 1800 MHz |
| 9 | 22_HNV/58 | PEM | 1878 W | 160° | 10° | 800 MHz |
| 10 | 22_HNV/58 | PEM | 6608 W | 160° | 12° | 2100 MHz |
| 11 | 23_GHT/58 | PEM | 1953 W | 160° | 9° | 900 MHz |
| 12 | 23_GHT/58 | PEM | 9982 W | 160° | 9° | 2600 MHz |
| 13 | 31_LV/58 | PEM | 1878 W | 340° | 10° | 800 MHz |
| 14 | 31_LV/58 | PEM | 6083 W | 340° | 12° | 1800 MHz |
| 15 | 32_HNV/58 | PEM | 1878 W | 340° | 10° | 800 MHz |
| 16 | 32_HNV/58 | PEM | 6608 W | 340° | 12° | 2100 MHz |
| 17 | 33_GHT/58 | PEM | 1953 W | 340° | 10° | 900 MHz |
| 18 | 33_GHT/58 | PEM | 9982 W | 340° | 10° | 2600 MHz |
| 19 | RL1/58 | PEM | 1413 W | 172° | | 80 GHz |
| 20 | RL2/58,7 | PEM | 5623 W | 238° | | 18 GHz |
| 21 | RL3/58 | PEM | 8822 W | 238° | | 80 GHz,23 GHz |
| 22 | RL4/58,7 | PEM | 5623 W | 272° | | 18 GHz |
| 23 | RL5/58 | PEM | 8822 W | 334° | | 80 GHz,23 GHz |

Dane po zmianie:

| L.p. | Nazwa anteny / wysokość [m n.p.t.] | Rodzaj emisji | Równoważna moc promieniowana izotropowo | Azymut | Kąt pochyleń | Częstotliwość |
|------|------------------------------------|---------------|---|--------|--------------|---------------|
| 1 | 11_LV/58 | PEM | 1878 W | 70° | 10° | 800 MHz |
| 2 | 11_LV/58 | PEM | 6083 W | 70° | 12° | 1800 MHz |
| 3 | 12_HNV/58 | PEM | 1878 W | 70° | 10° | 800 MHz |
| 4 | 12_HNV/58 | PEM | 6608 W | 70° | 12° | 2100 MHz |
| 5 | 13_GHT/58 | PEM | 1953 W | 70° | 9° | 900 MHz |
| 6 | 13_GHT/58 | PEM | 9982 W | 70° | 9° | 2600 MHz |
| 7 | 21_LV/58 | PEM | 1878 W | 160° | 10° | 800 MHz |
| 8 | 21_LV/58 | PEM | 6083 W | 160° | 12° | 1800 MHz |
| 9 | 22_HNV/58 | PEM | 1878 W | 160° | 10° | 800 MHz |
| 10 | 22_HNV/58 | PEM | 6608 W | 160° | 12° | 2100 MHz |
| 11 | 23_GHT/58 | PEM | 1953 W | 160° | 9° | 900 MHz |
| 12 | 23_GHT/58 | PEM | 9982 W | 160° | 9° | 2600 MHz |
| 13 | 31_LV/58 | PEM | 1878 W | 340° | 10° | 800 MHz |
| 14 | 31_LV/58 | PEM | 6083 W | 340° | 12° | 1800 MHz |
| 15 | 32_HNV/58 | PEM | 1878 W | 340° | 10° | 800 MHz |
| 16 | 32_HNV/58 | PEM | 6608 W | 340° | 12° | 2100 MHz |
| 17 | 33_GHT/58 | PEM | 1953 W | 340° | 10° | 900 MHz |
| 18 | 33_GHT/58 | PEM | 9982 W | 340° | 10° | 2600 MHz |
| 19 | RL1/58 | PEM | 1230 W | 124° | | 23 GHz |
| 20 | RL2/58 | PEM | 1413 W | 172° | | 80 GHz |
| 21 | RL3/58,7 | PEM | 5623 W | 238° | | 18 GHz |
| 22 | RL4/58 | PEM | 8822 W | 238° | | 80 GHz,23 GHz |

| | | | | | | |
|----|----------|-----|--------|------|--|---------------|
| 23 | RL5/58,7 | PEM | 5623 W | 272° | | 18 GHz |
| 24 | RL6/58 | PEM | 8822 W | 334° | | 80 GHz,23 GHz |

6) Opis stosowanych metod ograniczania wielkości emisji.

Brak zmian.

7) Informacja, czy stopień ograniczania wielkości emisji jest zgodny z obowiązującymi przepisami.

Brak zmian.

8) (uchylony)

-/-

9) Sprawozdanie z wykonanych pomiarów poziomów pól EM, o których mowa w art. 122a ust. 1 pkt 1.

Sprawozdanie nr 18/07/OŚ/2022 – P4-W z dnia 7 lip 2022, Nr akredytacji PCA – AB 1630.

Koordinator OŚ

Alicja Bogumił

kom. -

Poprawność nieznana

Dokument podpisany przez
ALICJA BOGUMIŁ
Data: 2022-07-08 13:42:27
CEST



Laboratorium EMVO Sp. J. Urbański, Pawelak
ul. Jasna 1
00-013 Warszawa

tel. +48 22 780 29 64
e-mail: laboratorium@emvo.pl



AB 1630

Sprawozdanie z pomiarów pól elektromagnetycznych - środowisko ogólne nr 18/07/OŚ/2022- P4-W



| | | |
|-------------------|--|--------------------------|
| Nr i nazwa stacji | WEG3303A | |
| Adres | Węgrów, Gdańska 81A, dz. 6180/4, pow. węgrowski, woj. mazowieckie | |
| Opracowanie | Martyna Karczmarczyk | Specjalista ds. pomiarów |
| Autoryzacja | Andrzej Urbański | Kierownik Laboratorium |
| Podpis | Poprawność nieznaną Dokument podpisany przez Andrzej Urbański Data: 2022.07.08 09:08:42 Powód: Zatwierdzam dokument | |
| Data | 2022-07-07 | |

Spis treści

| | |
|---|---|
| 1. Informacje ogólne..... | 3 |
| 2. Podstawa prawna. | 3 |
| 3. Opis pomiarów..... | 4 |
| 4. Zróżnicowanie dopuszczalne poziomy pól elektromagnetycznych..... | 5 |
| 5. Charakterystyka źródeł PEM..... | 5 |
| 6. Wyniki pomiarów..... | 5 |
| 7. Stwierdzenie zgodności | 7 |
| 8. Oświadczenie..... | 8 |
| 9. Spis załączników. | 8 |

1. Informacje ogólne.

| | |
|---|--|
| Zleceniodawca | P4 sp. z o.o., ul. Wynałazek 1, 02-677 Warszawa osoba udzielająca informacji- Monika Bierozą |
| Istotne informacje dostarczone przez klienta | komplet informacji niezbędnych do wykonania pomiarów i opracowania sprawozdania |
| Dane otrzymane od klienta mogące mieć wpływ na ważność wyników | Dane anten sektorowych, dane anten radioliniowych, parametry pracy instalacji, poprawka pomiarowa, ustawienie pochylenia anten |
| Prowadzący instalację | P4 sp. z o.o., ul. Wynałazek 1, 02-677 Warszawa |
| Lokalizacja obiektu | Węgrów, Gdańska 81A, dz. 6180/4, pow. węgrowski, woj. mazowieckie |
| Miejsce instalacji anten | Komin |
| Miejsce instalacji urządzeń | Outdoor |
| Osoby wykonujące pomiar | Wojciech Kaczorek |
| Data wykonania pomiaru | 07.07.2022 |
| Temperatura na początku pomiaru [°C] | 19,0 |
| Temperatura na koniec pomiaru [°C] | 19,0 |
| Warunki atmosferyczne | Brak opadów |
| Wilgotność na początku pomiaru [%] | 52,0 |
| Wilgotność na koniec pomiaru [%] | 52,0 |
| Godzina na początku pomiaru | 9:39 |
| Godzina na koniec pomiaru | 11:24 |
| Inne źródła pól elektromagnetycznych oznaczone na załączniku graficznym | Występują |
| Parametry pracy instalacji | Rzeczywisty |

2. Podstawa prawna.

2.1 Normy i rozporządzenia:

- Rozporządzeniem Ministra Klimatu z dnia 17 lutego 2020 r. w sprawie sposobów sprawdzania dotrzymania dopuszczalnych poziomów pól elektromagnetycznych w środowisku (Dz.U. 2020 poz. 258)
- Rozporządzenie Ministra Zdrowia z dnia 17 grudnia 2019 r. w sprawie dopuszczalnych poziomów pól elektromagnetycznych w środowisku (Dz.U. 2019 poz. 2448)
- Obwieszczenie Marszałka Sejmu Rzeczypospolitej Polskiej z dnia 19 lipca 2019 r. w sprawie ogłoszenia jednolitego tekstu ustawy - Prawo ochrony środowiska (Dz.U. 2019 poz. 1396)
- Rozporządzenie Ministra Klimatu i Środowiska z dnia 26 maja 2022 r. zmieniające rozporządzenie w sprawie sposobów sprawdzania dotrzymywania dopuszczalnych poziomów pól elektromagnetycznych w środowisku (Dz.U. 2022 poz. 1121).

„Bez pisemnej zgody Laboratorium niniejsze sprawozdanie nie może być powielane inaczej, jak tylko w całości. Ponadto wyniki dotyczą tylko badanych obiektów przywołanych w niniejszym sprawozdaniu z badań”

3. Opis pomiarów

| | |
|---|---|
| Metodologia pomiarowa | Pomiary w oparciu o Rozporządzeniem Ministra Klimatu z dnia 17 lutego 2020 r. w sprawie sposobów sprawdzania dotrzymania dopuszczalnych poziomów pól elektromagnetycznych w środowisku (Dz.U. 2020 poz. 258). |
| Cel badań | Określenie wartości natężenia pola elektrycznego w miejscach dostępnych dla ludności. |
| Opis zestawu pomiarowego | Miernik Narda NBM 550, Sonda EF9091, o zakresie pomiarowym 0,7 V/m - 300V/m pracująca w paśmie 0,1 – 90 GHz, świadectwo wydane przez Laboratorium Wzorców i Metrologii Pola Elektromagnetycznego, Instytut Telekomunikacji, Teleinformatyki i Akustyki Politechniki Wrocławskiej. Świadectwo ważne do 10.06.2024r. Miernik Narda NBM 550, Sonda EF9091 pracująca w zakresie temperatury -10°C - +50°C oraz wilgotności 5% - 95%. Niepewność rozszerzona 59 % przy poziomie ufności 95% z uwzględnieniem współczynnika rozszerzenia k=2. |
| Wyposażenie pomocnicze | Termohigrometr Bestone, typ: GM1362-EN-00, nr identyfikacyjny 1222436, świadectwo wzorcowania z dn. 03.04.2017r. wydane przez Laboratorium Pomiarowe "MUTECH". Przymiar wstępowy STABILA, nr identyfikacyjny 5/WL/2016, świadectwo wzorcowania z dn. 06.09.2016 r. wydane przez Zespół Laboratoriów wzorcujących Okręgowego Urzędu Miar w Gdańsku. Dalmierz laserowy BOSH GLM 40, Świadectwo wzorcowania L4-L41.4180.141.2018.3061.1 z dnia 12 września 2018 wydane przez Pracownia Długości Samodzielnego Laboratorium Długości w Głównym Urzędzie Miar. GPS Garmin 64s okresowo sprawdzany w punktach osnowy geodezyjnej klasy 3 na podstawie licencji punktu, zgodnie z procedurą sprawdzeń okresowych IS/PO-16-11/03. |
| Pomiary zostały wykonane | <ol style="list-style-type: none">1. na głównych i pomocniczych kierunkach pomiarowych, na kierunkach zbliżonych do azymutów anten oraz w dodatkowych pionach pomiarowych zgodnie z wymaganiami pkt 12, 13, 14 i 19 załącznika do rozporządzenia Ministra Klimatu z dnia 17 lutego 2020 r. (Dz. U. 2020, poz. 258),2. na obszarze pomiarowym, dla którego, na podstawie uprzednio wykonanych obliczeń uzyskanych od zleceniodawcy, stwierdzono możliwość występowania pól elektromagnetycznych o poziomach zbliżonych do poziomów dopuszczalnych zgodnie z wymaganiami pkt 5 ppkt 2 oraz pkt 13 ppkt 1 załącznika do rozporządzenia Ministra Klimatu z dnia 17 lutego 2020 r. (Dz. U. 2020, poz. 258). Wyniki obliczeń nie uwzględniały parametrów pracy instalacji innych operatorów występujących na obiekcie bądź w obszarze pomiarowym.3. w miejscach dostępnych dla ludności.4. miejsca niedostępne podczas wykonywania pomiarów wskazane zostały w pkt 6 (tabeli wyniki pomiarów)5. wyniki pomiarów uzyskane zostały przy uwzględnieniu poprawki pomiarowej wynoszącej 1,0. |
| Szczególne warunki podczas wykonywania pomiarów | Pomiary wykonane zostały podczas obowiązywania w kraju stanu zagrożenia epidemicznego, zgodnie z art. 122a ust. 1b Ustawy z dnia 27 kwietnia 2001 r. – Prawo ochrony środowiska (Dz. U. z 2019 r. poz. 1396, z późn. zm.9)) |
| Warunki pracy urządzeń nadawczych | Podczas pomiarów zostały uwzględnione poprawki pomiarowe przekazane przez zleceniodawcę, umożliwiające uwzględnienie maksymalnych parametrów pracy instalacji zgodnie z pkt 7 załącznika do Rozporządzeniem Ministra Klimatu z dnia |

17 lutego 2020 r. w sprawie sposobów sprawdzania dotrzymania dopuszczalnych poziomów pól elektromagnetycznych w środowisku (Dz. U. 2020, poz. 258).

4. Zróżnicowanie dopuszczalne poziomy pól elektromagnetycznych.

Zakresy znajdują się w Dzienniku Ustaw z dnia 17 grudnia 2019 r. przedstawione są w tabeli nr 2 (Dz. U. z 2019r. poz. 2448).

| Parametr fizyczny | Składowa elektryczna E (V/m) | Składowa magnetyczna H (A/m) | Gęstość mocy S (W/m ²) |
|---|------------------------------|------------------------------|------------------------------------|
| Zakres Częstotliwości pola elektromagnetycznego | | | |
| od 400 MHz do 2000 MHz | $1,375 \times f^{0,5}$ | $0,0037 \times f^{0,5}$ | $f / 200$ |
| od 2 GHz do 300 GHz | 61 | 0,16 | 10 |

5. Charakterystyka źródeł PEM.

Zgodnie z informacją otrzymaną od Klienta pomiary zostały wykonane przy ustawieniach pochylenia anten zgodnych z pkt. 13, ppkt 2 załącznika do rozporządzenia Ministra Klimatu z dnia 17 lutego 2020 roku.

Tabela 1. Anteny sektorowe - dane otrzymane od klienta

| | | | | | | | | | | | | | | | | | | | | | | | | | | | | |
|---------------------------------|---|---------------------|-------|-------|------------------|-------|-------|-------------------|-------|-------|------------------|-------|-------|------------------|-------|-------|-------------------|-------|-------|------------------|--|--|------------------|--|--|-------------------|--|--|
| Charakterystyka promieniowania | kierunkowa | | | | | | | | | | | | | | | | | | | | | | | | | | | |
| Rzeczywisty czas pracy [h/dobę] | 24 | | | | | | | | | | | | | | | | | | | | | | | | | | | |
| Rodzaj wytwarzanego pola | stacjonarne | | | | | | | | | | | | | | | | | | | | | | | | | | | |
| Lp | Wyszczególnienie | sektor 1 | | | | | | sektor 2 | | | | | | sektor 3 | | | | | | | | | | | | | | |
| I | Nadajnik stacji bazowej: | | | | | | | | | | | | | | | | | | | | | | | | | | | |
| 1 | Typ / Producent | RBS / SRAN Ericsson | | | | | | | | | | | | | | | | | | | | | | | | | | |
| 2 | Częstotliwość (pasmo) MHz | 1800 | 800 | 2100 | 800 | 2600 | 900 | 1800 | 800 | 2100 | 800 | 2600 | 900 | 1800 | 800 | 2100 | 800 | 2600 | 900 | | | | | | | | | |
| 3 | Maksymalna moc nadawana na sektor [dBm] | 50,79 | 46,02 | 50,79 | 46,02 | 52,04 | 46,02 | 50,79 | 46,02 | 50,79 | 46,02 | 52,04 | 46,02 | 50,79 | 46,02 | 50,79 | 46,02 | 52,04 | 46,02 | | | | | | | | | |
| II | Obciążenie: | | | | | | | | | | | | | | | | | | | | | | | | | | | |
| 1 | Typ anteny | Huawei ADU4518R8 | | | Huawei ADU4518R8 | | | Huawei ATR4518R11 | | | Huawei ADU4518R8 | | | Huawei ADU4518R8 | | | Huawei ATR4518R11 | | | Huawei ADU4518R8 | | | Huawei ADU4518R8 | | | Huawei ATR4518R11 | | |
| 2 | Producent anteny | Huawei | | | Huawei | | | Huawei | | | Huawei | | | Huawei | | | Huawei | | | Huawei | | | Huawei | | | Huawei | | |
| 3 | Ilość anten | 1 | | | 1 | | | 1 | | | 1 | | | 1 | | | 1 | | | 1 | | | 1 | | | 1 | | |
| 4 | Azymut | 70 | | | | | | 160 | | | | | | 340 | | | | | | | | | | | | | | |
| 5 | Zakres kątów pochylenia anten [°] | 2-12 | 0-10 | 2-12 | 0-10 | 0-9 | 0-9 | 2-12 | 0-10 | 2-12 | 0-10 | 0-9 | 0-9 | 2-12 | 0-10 | 2-12 | 0-10 | 0-10 | 0-10 | | | | | | | | | |
| 6 | Wysokość zainst. n.p.t. [m] | 58,00 | | | | | | 58,00 | | | | | | 58,00 | | | | | | | | | | | | | | |
| 7 | EIRP [W] | 7961 | | | 8486 | | | 11935 | | | 7961 | | | 8486 | | | 11935 | | | 7961 | | | 8486 | | | 11935 | | |

Tabela 2. Anteny radioliniowe- dane otrzymane od klienta

| Charakterystyka promieniowania | | | | kierunkowa | | | |
|---------------------------------|------------------|---------------------------|---------------------|------------------|---------------------|------------|------------------------|
| Rzeczywisty czas pracy [h/dobę] | | | | 24 | | | |
| Rodzaj wytwarzanego pola | | | | stacjonarne | | | |
| Lp | Linia radiowa | | | Antena | | | |
| | typ/producent | częstotliwość pracy [GHz] | moc wyjściowa [dBm] | typ/producent | średnica anteny [m] | azymut [°] | wysokość zainstal. [m] |
| 1 | OPTIX RTN/HUAWEI | 23 | 21 | A23D06/Huawei | 0,6 | 124 | 58,00 |
| 2 | OPTIX RTN/HUAWEI | 80 | 18 | VHLP1-80/Andrew | 0,3 | 172 | 58,00 |
| 3 | OPTIX RTN/HUAWEI | 18 | 28,5 | VHLPX2-18/Andrew | 0,6 | 238 | 58,70 |
| 4 | OPTIX RTN/HUAWEI | 80/23 | 18/25 | A23S80S06/Huawei | 0,6 | 238 | 58,00 |
| 5 | OPTIX RTN/HUAWEI | 18 | 28,5 | VHLPX2-18/Andrew | 0,6 | 272 | 58,70 |
| 6 | OPTIX RTN/HUAWEI | 80/23 | 18/25 | A23S80S06/Huawei | 0,6 | 334 | 58,00 |

6. Wyniki pomiarów.

Wyniki pomiarów pól elektromagnetycznych dla celów ochrony środowiska przedstawia poniższa tabela. Piony pomiarowe zostały przedstawione w zał. 2.

| Nr PP | Pole-E [V/m] | Pole-E *kE, +U [V/m] | Pole-H [A/m] | Pole-H *kE +U [A/m] | Wys. pomiaru [m] | Opis pionu | Uwagi | WM _E | WM _H |
|-------|--------------|----------------------|--------------|---------------------|------------------|--------------------------------|--|-----------------|-----------------|
| 1 | 1,4 | 2,23 | 0,004 | 0,006 | 0,3-2,0 | N:52°24'54.5" E:22°00'27.5" | otoczenie stacji bazowej - 100m wzdłuż gł. osi promieniowania - GKP | 0,080 | 0,081 |
| 2 | 1,4 | 2,23 | 0,004 | 0,006 | 0,3-2,0 | N:52°24'55.5" E:22°00'32.2" | otoczenie stacji bazowej - 200m wzdłuż gł. osi promieniowania - GKP | 0,080 | 0,081 |
| 3 | 1,1 | 1,75 | 0,003 | 0,005 | 0,3-2,0 | N:52°24'56.2" E:22°00'37.7" | otoczenie stacji bazowej - 300m wzdłuż gł. osi promieniowania - GKP | 0,062 | 0,064 |
| 4 | 1,0 | 1,59 | 0,003 | 0,004 | 0,3-2,0 | N:52°24'58.4" E:22°00'47.8" | otoczenie stacji bazowej - 500m wzdłuż gł. osi promieniowania- GKP | 0,057 | 0,058 |
| 5 | 1,6 | 2,54 | 0,004 | 0,007 | 0,3-2,0 | N:52°24'59.1" E:22°00'51.3" | otoczenie stacji bazowej - 580m wzdłuż gł. osi promieniowania - GKP | 0,091 | 0,092 |
| 6 | 1,3 | 2,07 | 0,003 | 0,005 | 0,3-2,0 | N:52°24'41.2" E:22°00'28.8" | otoczenie stacji bazowej - 400m wzdłuż gł. osi promieniowania - GKP | 0,074 | 0,075 |
| 7 | 1,3 | 2,07 | 0,003 | 0,005 | 0,3-2,0 | N:52°24'38.2" E:22°00'30.3" | otoczenie stacji bazowej - 500m wzdłuż gł. osi promieniowania - GKP | 0,074 | 0,075 |
| 8 | 1,2 | 1,91 | 0,003 | 0,005 | 0,3-2,0 | N:52°24'35.8" E:22°00'31.7" | otoczenie stacji bazowej - 580m wzdłuż gł. osi promieniowania - GKP | 0,068 | 0,069 |
| 9 | 1,0 | 1,59 | 0,003 | 0,004 | 0,3-2,0 | N:52°24'59.6" E:22°00'18.9" | otoczenie stacji bazowej - 200m wzdłuż gł. osi promieniowania - GKP | 0,057 | 0,058 |
| 10 | 1,4 | 2,23 | 0,004 | 0,006 | 0,3-2,0 | N:52°25'02.7" E:22°00'17.1" | otoczenie stacji bazowej - 300m wzdłuż gł. osi promieniowania - GKP | 0,080 | 0,081 |
| 11 | 1,7 | 2,70 | 0,005 | 0,007 | 0,3-2,0 | N:52°25'05.8" E:22°00'15.4" | otoczenie stacji bazowej - 400m wzdłuż gł. osi promieniowania - GKP | 0,097 | 0,098 |
| 12 | 1,7 | 2,70 | 0,005 | 0,007 | 0,3-2,0 | N:52°25'09.2" E:22°00'13.8" | otoczenie stacji bazowej - 500m wzdłuż gł. osi promieniowania - GKP | 0,097 | 0,098 |
| 13 | 1,4 | 2,23 | 0,004 | 0,006 | 0,3-2,0 | N:52°25'10.9" E:22°00'13.1" | otoczenie stacji bazowej - 580m wzdłuż gł. osi promieniowania - GKP | 0,080 | 0,081 |
| 14 | 1,1 | 1,75 | 0,003 | 0,005 | 0,3-2,0 | N:52°24'51.9" E:22°00'17.9" | otoczenie stacji bazowej - 100m wzdłuż gł. osi promieniowania - GKP | 0,062 | 0,064 |
| 15 | 1,1 | 1,75 | 0,003 | 0,005 | 0,3-2,0 | N:52°24'53.3" E:22°00'17.2" | otoczenie stacji bazowej - 100m wzdłuż gł. osi promieniowania - GKP | 0,062 | 0,064 |
| 16 | 1,3 | 2,07 | 0,003 | 0,005 | 0,3-2,0 | N:52°24'56.1" E:22°00'23.2" | otoczenie stacji bazowej - GKP | 0,074 | 0,075 |
| 17 | 1,7 | 2,70 | 0,005 | 0,007 | 0,3-2,0 | N:52°24'54.2" E:22°00'24.1" | otoczenie stacji bazowej - GKP | 0,097 | 0,098 |
| 18 | 1,4 | 2,23 | 0,004 | 0,006 | 0,3-2,0 | N:52°24'55.2" E:22°00'26.9" | otoczenie stacji bazowej - GKP | 0,080 | 0,081 |

„Bez pisemnej zgody Laboratorium niniejsze sprawozdanie nie może być powielane inaczej, jak tylko w całości. Ponadto wyniki dotyczą tylko badanych obiektów przywołanych w niniejszym sprawozdaniu z badań”

| | | | | | | | | | |
|----|------|------|-------|-------|---------|--------------------------------|--|-------|-------|
| 19 | 1,1 | 1,75 | 0,003 | 0,005 | 0,3-2,0 | N:52°24'52.6" E:22°00'29.2" | otoczenie stacji bazowej - GKP | 0,062 | 0,064 |
| 20 | 0,9 | 1,43 | 0,002 | 0,004 | 0,3-2,0 | N:52°24'55.0" E:22°00'18.8" | otoczenie stacji bazowej - GKP | 0,051 | 0,052 |
| A | 0,7* | 1,27 | 0,002 | 0,003 | 0,3-2,0 | N:52°24'51.7" E:22°00'29.6" | Gdańska 83, pomiar przed bramą - DPP | 0,045 | 0,046 |
| B | 0,7* | 1,27 | 0,002 | 0,003 | 0,3-2,0 | N:52°24'48.2" E:22°00'32.6" | Gdańska 79, pomiar przed bramą - DPP | 0,045 | 0,046 |
| C | 0,7* | 1,27 | 0,002 | 0,003 | 0,3-2,0 | N:52°24'34.1" E:22°00'28.8" | Gdańska 81, pomiar przed bramą - DPP | 0,045 | 0,046 |
| D | 0,7* | 1,27 | 0,002 | 0,003 | 0,3-2,0 | N:52°24'40.4" E:22°00'28.8" | Gdańska 77, pomiar przed budynkiem -DPP | 0,045 | 0,046 |
| E | 1,4 | 2,23 | 0,004 | 0,006 | 0,3-2,0 | N:52°24'56.3" E:22°00'20.9" | Gdańska 105, pomiar przed budynkiem -DPP | 0,080 | 0,081 |
| F | 1,0 | 1,59 | 0,003 | 0,004 | 0,3-2,0 | N:52°24'58.5" E:22°00'19.1" | osiedle Grudzie I 17, pomiar przed budynkiem -DPP | 0,057 | 0,058 |
| G | 1,0 | 1,59 | 0,003 | 0,004 | 0,3-2,0 | N:52°25'00.6" E:22°00'18.1" | Gdańska 97, pomiar przed budynkiem -DPP | 0,057 | 0,058 |
| H | 1,1 | 1,75 | 0,003 | 0,005 | 0,3-2,0 | N:52°25'02.8" E:22°00'16.8" | Gdańska 111b, pomiar przed budynkiem -DPP | 0,062 | 0,064 |
| I | 1,0 | 1,59 | 0,003 | 0,004 | 0,3-2,0 | N:52°25'04.4" E:22°00'15.8" | Brak adresu, pomiar przed budynkiem -DPP | 0,057 | 0,058 |
| J | 1,3 | 2,07 | 0,003 | 0,005 | 0,3-2,0 | N:52°24'55.5" E:22°00'29.9" | Gdańska 114a, pomiar przed budynkiem -DPP | 0,074 | 0,075 |
| K | 1,1 | 1,75 | 0,003 | 0,005 | 0,3-2,0 | N:52°24'55.4" E:22°00'32.2" | Gdańska 114b, pomiar przed budynkiem -DPP | 0,062 | 0,064 |
| L | 1,1 | 1,75 | 0,003 | 0,005 | 0,3-2,0 | N:52°24'56.4" E:22°00'39.3" | aleja Partyzantów 1a, pomiar przed budynkiem -DPP | 0,062 | 0,064 |
| M | 1,3 | 2,07 | 0,003 | 0,005 | 0,3-2,0 | N:52°24'57.2" E:22°00'41.2" | aleja Partyzantów 7, pomiar przed bramą -DPP | 0,074 | 0,075 |
| N | 1,5 | 2,39 | 0,004 | 0,006 | 0,3-2,0 | N:52°24'57.5" E:22°00'44.6" | aleja Partyzantów 15a, pomiar przed bramą -DPP | 0,085 | 0,087 |
| O | 1,4 | 2,23 | 0,004 | 0,006 | 0,3-2,0 | N:52°24'58.5" E:22°00'49.9" | aleja Partyzantów 23A, pomiar przed budynkiem -DPP | 0,080 | 0,081 |

Wynik pomiaru pole - E [V/m] - maksymalna wartość chwilowa zmierzona w danym pionie pomiarowym (uśredniona na podstawie punktu 11 Załącznika do Rozporządzenia Ministra Zdrowia).

Przyjęto najniższą dopuszczalną wartość składowej elektrycznej pola dla objętego pomiarami zakresu częstotliwości $\min(ME_{gr})= 28 \text{ V/m}$ oraz składowej magnetycznej $\min(MH_{gr})= 0,073 \text{ A/m}$.

* - wartość zmierzona poniżej zakresu akredytacji. Do obliczeń przyjęto wartość zgodną z dolną granicą akredytowanego zakresu pomiarowego metody.

GKP - główne kierunki pomiarowe

PKP - pomocnicze kierunki pomiarowe

DPP - dodatkowe punkty pomiarowe

PP - pion pomiarowy

U - niepewność pomiarowa rozszerzona, przy poziomie ufności 95%, z uwzględnieniem współczynnika rozszerzenia $k=2$

kE - poprawka pomiarowa badanej instalacji radiokomunikacyjnej ($kE=1,0$)

WM_E - wartość wskaźnikowa poziomu emisji pól elektromagnetycznych dla miejsc dostępnych dla ludności dla składowej elektrycznej pola

WM_H - wartość wskaźnikowa poziomu emisji pól elektromagnetycznych dla miejsc dostępnych dla ludności dla składowej magnetycznej pola

7. Stwierdzenie zgodności

Na podstawie wytycznych podanych w Rozporządzeniu Ministra Zdrowia z dnia 17 grudnia 2019 r. w sprawie dopuszczalnych poziomów pól elektromagnetycznych w środowisku (Dz.U. 2019 poz. 2448) oraz sposobów sprawdzania dotrzymania tych poziomów zgodnie z Rozporządzeniem Ministra Klimatu z dnia 17 lutego 2020 r. w sprawie sposobów sprawdzania dotrzymania dopuszczalnych poziomów pól elektromagnetycznych w środowisku (Dz.U. 2020 poz. 258) dotyczących źródła wymagań, które muszą być spełnione (załącznik do rozporządzenia Ministra Klimatu z dnia 17 lutego 2020 r. (poz. 258)), w oparciu o zasadę podejmowania decyzji zgodną z pkt 26 załącznika do rozporządzenia Ministra Klimatu z dnia 17 lutego 2020 r. (poz. 258), na podstawie wyników pomiarów pól elektromagnetycznych wykonanych w dniu 07.07.2022 stwierdzono, iż w miejscach dostępnych dla

„Bez pisemnej zgody Laboratorium niniejsze sprawozdanie nie może być powielane inaczej, jak tylko w całości. Ponadto wyniki dotyczą tylko badanych obiektów przywołanych w niniejszym sprawozdaniu z badań”

ludności, dopuszczalne poziomy pól elektromagnetycznych w środowisku, określone w przepisach wydanych na podstawie art. 122 ust. 1 ustawy z dnia 27 kwietnia 2001 r. – Prawo ochrony środowiska, uznaje się za dotrzymane w obszarze pomiarowym, w którym w wyniku zastosowania sposobu sprawdzenia dotrzymania dopuszczalnych poziomów pól elektromagnetycznych w środowisku, udokumentowano, że żadna z wartości wskaźnikowych nie przekracza wartości 1.

8. Oświadczenie.

Wyniki badania odnoszą się wyłącznie do badanego obiektu.

Bez pisemnej zgody sprawozdanie nie może być powielane inaczej, jak tylko w całości.

Uwagi i zastrzeżenia przyjmowane są w formie pisemnej w ciągu 14 dni od daty otrzymania sprawozdania.

9. Spis załączników.

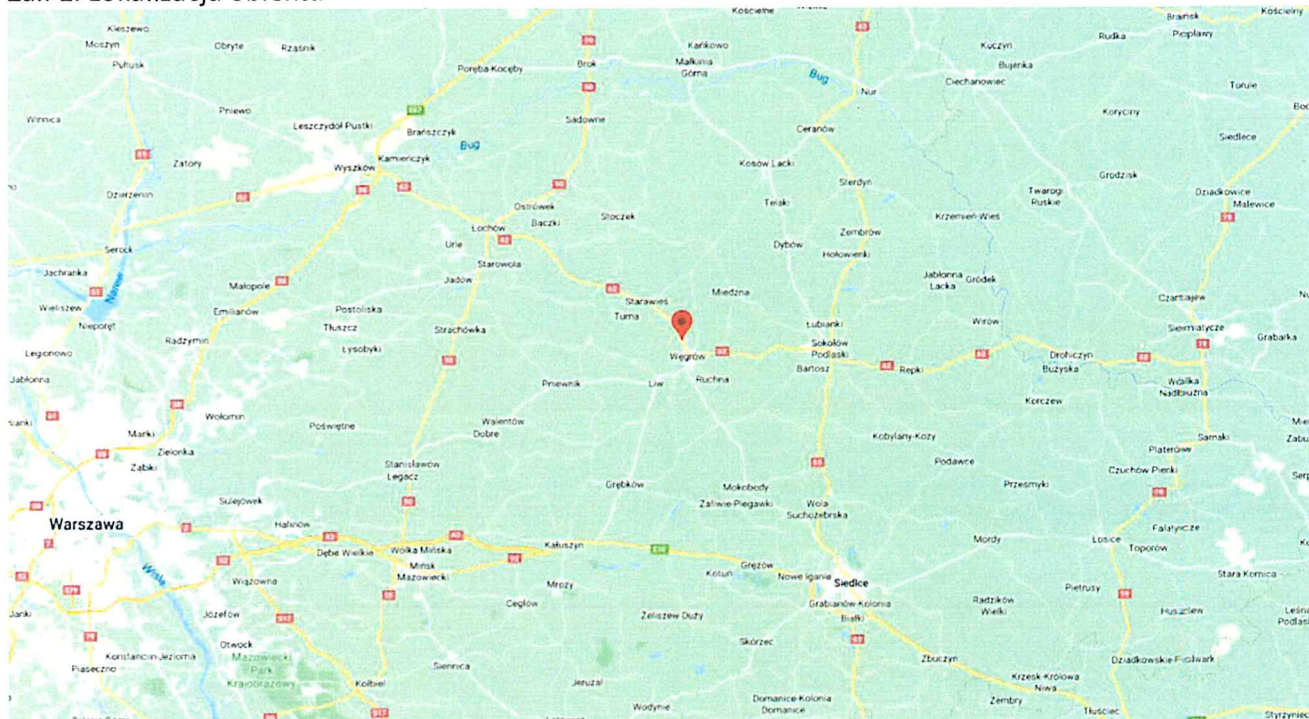
Załącznik 1. Lokalizacja obiektu.

Załącznik 2. Widok pionowy pomiarowych

Załącznik 3. Załączniki graficzne

Koniec sprawozdania

Załącznik 1. Lokalizacja obiektu



| Współrzędne geograficzne | |
|--------------------------|---------------|
| długość: | 22°00'21.97"E |
| szerokość: | 52°24'53.77"N |

Załącznik 2. Widok pionów pomiarowych




LEGENDA:

 inna instalacja radiokomunikacyjna

Odległość, do której zostały wykonane pomiary mierząc od instalacji antenowej wynosi min.: 580 metrów.

 brak dostępu

 pion pomiarowy z poprawką pomiarową (brak innych instalacji radiokomunikacyjnych)

 pion pomiarowy z poprawką pomiarową (w zasięgu innych instalacji radiokomunikacyjnych)

 antena sektorowa

 antena radioliniowa

Skala: 1:6500



Załącznik 3. Załączniki graficzne.

